

# Shuzhi Jisuan

黄振侃◎编著

## 数值计算

### —— 微分方程数值解

北京工业大学出版社

# 数值计算

## ——微分方程数值解

黄振侃 编著

北京工业大学出版社

## 内 容 提 要

本书从工科院校应用数学角度,在掌握一定的数值计算理论的基础上,着重于计算机计算和应用环节的学习和训练.本书的主要内容包括:微分方程数值解的基本概述;常用算法及其精度、稳定性、收敛性;在计算中应注意事项;在物理及工程中的应用等.

本书适合综合及工科院校应用数学专业本科生学习,也可作为其他专业研究生、教师和工程技术人员的自学和参考用书.

### 图书在版编目(CIP)数据

数值计算:微分方程数值解/黄振侃编著. —北京:北京工业大学出版社, 2006.9

ISBN 7-5639-1693-8

I. 数... II. 黄... III. 数值计算-高等学校-教材  
IV. 0241

中国版本图书馆 CIP 数据核字(2006)第 114918 号

## 数 值 计 算

### ——微分方程数值解

黄振侃 编著

\*

北京工业大学出版社出版发行

邮编: 100022 电话: (010) 67392308

各地新华书店经销

徐水宏远印刷厂印刷

\*

2006年10月第1版 2006年10月第1次印刷

787 mm × 1 092 mm 16开本 12.75印张 307千字

印数: 1~3 000册

ISBN 7-5639-1693-8/G·842

定价: 19.00元

## 前 言

微分方程数值解有关的专著及教学用书已有很多，有的偏重于理论，有的偏重于工程，非本专业读者读起来均有一定困难。本书从工科院校应用数学角度，在掌握一定的数值计算理论的基础上，着重于计算机计算和应用环节的学习和训练，也就是以数值解为载体，培养读者的计算能力，解决实际问题的能力，提高应用综合素质。

本着上述宗旨，教材编写时立足于少而精，主要介绍：微分方程数值解的基本概念；常用算法及其精度、稳定性、收敛性；在计算中应注意的事项；在物理及工程中的应用。希望本教材起到抛砖引玉的作用，使读者体会到计算数学的规律性东西。

为加强读者的计算编程能力培养，编写了“上机实习”一章，尽管这些内容在很多参考书上或多或少能找到。读者还是应该具有这方面的基本功，才能应对将来的各种挑战。

为提高读者解决实际问题的能力，特意编写了“工程应用”一章，这是作者多年做实际课题用数值解解决工程问题的部分内容。本书应用的课题资料，有的是已经发表于相关期刊上，有的是第一次引用。

本书适合综合及工科院校应用数学专业本科生学习，也可作为其他专业研究生、教师和工程技术人员的自学和参考用书。

本书在编写过程中得到多位教师的帮助和支持。杨中华副教授为第4章内容提出建议，王术教授认真阅读了本书初稿并提出了修改意见，在此表示谢意。特别感谢各课题的合作者徐贺文教授、陆介平教授、王世洪教授、蒋大林教授、王学宝高工的支持，他们深厚的专业知识对作者的帮助很大。

在本书编写过程中，参阅了大量的他人著作和相关文献，已一一列入书后的“参考文献”中，在此对这些作者一并表示感谢。

编 者

2006.8

# 目 录

<b>第 1 章 常微分方程差分算法</b> .....	1
1.1 引言 .....	1
1.2 算法简述 .....	2
1.3 单步方法 .....	6
1.4 线性多步方法 .....	10
1.5 两点边值问题 .....	14
1.6 方程组及高阶方程的数值解法 .....	17
<b>第 2 章 偏微分方程差分算法</b> .....	20
2.1 引言 .....	20
2.2 椭圆型方程差分方法 .....	21
2.3 抛物型方程差分方法 .....	25
2.4 双曲型方程差分方法 .....	32
2.5 流体力学数值计算 .....	37
<b>第 3 章 近似解法</b> .....	49
3.1 引言 .....	49
3.2 Ritz 法与 Galerkin 法 .....	49
3.3 加权余量法 .....	59
3.4 边界元法 .....	62
3.5 特解边界元法 .....	65
3.6 应用特解边界元法解三维 Pennes 方程 .....	66
<b>第 4 章 椭圆型方程有限元法</b> .....	71
4.1 引言 .....	71
4.2 一维椭圆型方程的有限元法 .....	71
4.3 二维问题的三角形元及插值函数 .....	75
4.4 二维椭圆型偏微分方程有限元法 .....	78
4.5 单元和插值函数 .....	83
<b>第 5 章 上机实习</b> .....	89
5.1 引言 .....	89
5.2 离散矩阵的计算 .....	89
5.3 常微分方程差分算法实习 .....	95
5.4 偏微分方程差分算法实习 .....	96
5.5 椭圆型方程有限元法实习 .....	98
5.6 计算机程序设计 .....	102
5.7 微分方程数值解各算法程序清单 .....	106
<b>第 6 章 工程应用</b> .....	163
6.1 引言 .....	163

6.2 表冷器凝水问题的研究 .....	164
6.3 卤钨灯结构的研究 .....	167
6.4 肿瘤热疗疗效的研究 .....	171
6.5 复合材料残余应力的研究 .....	180
6.6 大型电炉对流换热的研究 .....	185
6.7 表冷器风速均匀化的试验与数值计算的研究 .....	189
<b>参考文献</b> .....	<b>194</b>

# 第 1 章 常微分方程差分算法

## 1.1 引言

当前, 数学模型日益受到人们的重视. 首先是计算技术的不断发展, 其次是交叉学科的发展, 对事物定量的描述需求所致. 微分方程数学模型在数学模型中占有重要地位, 而常微分方程模型是常用的模型之一. 如在传统的力学和运动学以及控制论中, 描述系统的动态演变过程, 以及其他学科中的初值问题. 这些方程的一种特性是: 如果物理系统的某一个指定初始时刻  $t = t_0$ , 当  $t \geq t_0$  时, 该问题的解存在, 且由相应的初始条件、边界条件和其他附加条件唯一确定.

建立模型, 首先要熟悉所在的学科专业知识, 找出变量之间的定量关系, 对它进行检验需作工程试验, 将模型的状态与试验数据进行比较, 其次是对模型的运动规律进行研究, 满足人们对事物的了解和期望.

常微分方程能直接进行积分的是少数, 而多数是借助于计算机来求常微分方程的近似解, 是其中重要的算法.

有限差分法是常微分方程中数值解法中通常有效的方法. 差分方法也称离散变量法, 是一种递推算法.

建立差分算法有两个基本步骤:

第一步, 建立差分格式.

主要工作是: ①对解的存在域剖分; ②采用不同的算法可得不同的逼近误差, 即截断误差; ③数值解对真解的精度; ④数值解收敛于真解的速度; ⑤差分算法的稳定性.

第二步, 差分格式的求解.

将积分方程通过差分方程转化为代数方程求解, 一般常用递推算法.

设初值问题

$$\begin{cases} u' = f(t, u) & (t_0 \leq t \leq T) \\ u|_{t=t_0} = u_0 \end{cases} \quad (1.1)$$

$$u|_{t=t_0} = u_0 \quad (1.2)$$

式 (1.1)、式 (1.2) 有解  $u(t)$ , 需满足存在唯一性、适定性.

**定理 1.1** 若  $f(t, u)$  在  $t_0 \leq t \leq T$  中连续, 且  $u(t)$  满足 Lipschitz 条件, 存在  $L$  (常数), 使

$$|f(t, u) - f(t, u^*)| \leq L|u - u^*| \quad (1.3)$$

则式 (1.1)、式 (1.2) 存在唯一的连续可微解  $u(t)$ .

例如, 扰动问题:

$$\begin{cases} \frac{dv}{dt} = f(t, u) + \delta(t) = \tilde{f}(t, v) & (1.4) \\ v(t_0) = u_0 + \epsilon_0 = \tilde{u}_0 & (1.5) \end{cases}$$

式中,  $\delta(t)$  和  $\epsilon_0$  都是很小的扰动.

**定义 1.1** 如果存在正常数  $k, \eta$ , 使对任何  $\epsilon \leq \eta$ , 当  $|\epsilon_0| < \epsilon, t_0 \leq t \leq T, |u| < \infty$  时, 有  $|\delta(t)| < \epsilon$ . 扰动问题式 (1.4) 及式 (1.5) 满足

$$|u(t) - v(t)| \leq k\epsilon \quad (1.6)$$

称常微分方程 (1.1) 对初始条件 (1.2) 是适定的.

**定理 1.2** 如果  $f(t, u)$  满足 Lipschitz 条件, 则 (1.1) 对任何初值条件都是适定的. 证明令  $\epsilon$  是由  $\max[|\epsilon_0|, \max_{t_0 \leq t \leq T} |\delta(t)|]$  定义的模  $\|\epsilon_0, \delta\|$ .

如果  $\epsilon(t) = u(t) - v(t)$ , 则

$$\begin{aligned} \epsilon'(t) &= v'(t) - u'(t) = f(t, v) - f(t, u) + \delta(t) \\ \epsilon(t_0) &= |v(t_0) - u(t_0)| = |\epsilon_0| \leq \epsilon \end{aligned}$$

于是得

$$|\epsilon'(t)| \leq |f(t, v) - f(t, u)| + |\delta(t)| \leq L|\epsilon(t)| + \epsilon$$

一阶线性方程解

$$\begin{aligned} |\epsilon(t)| &\leq e^{\int_{t_0}^t L dt} \left( \int_{t_0}^t \epsilon e^{-\int_{t_0}^t L dt} dt + C \right) \\ &= e^{L(t-t_0)} \left( -\frac{\epsilon}{L} e^{-L(t-t_0)} + C \right) \end{aligned}$$

将  $C = \epsilon + \frac{\epsilon}{L}$ , 代入上式得

$$|\epsilon(t)| \leq \frac{\epsilon}{L} [(L+1)e^{L(t-t_0)} - 1]$$

扰动问题解中最大改变量以  $k\epsilon$  为界:

$$\begin{aligned} \max_{t_0 \leq t \leq T} |\epsilon(t)| &\leq \|\epsilon\| \cdot \frac{1}{L} [(L+1)e^{L(T-t_0)} - 1] \\ &= \|\epsilon_0, \delta\| \cdot \frac{1}{L} [(L+1)e^{L(T-t_0)} - 1] = k\epsilon \end{aligned}$$

式中,  $k$  与  $\epsilon$  无关.

## 1.2 算法简述

一般算法的过程必须能够在有限步后停止并有结果, 说明中定义了实施措施; 计算方法具备了算法的所有特征, 但不能保证在有限步后终止, 对实施措施一般只进行抽象描述.



## 1. 差分方法

差分算法的优点是通用性强, 适用性广, 方法简单易于掌握. 其原理是, 函数在某点处的值可通过 Taylor 公式表示, 是一个无限项问题, 需取有限项计算, 因此产生截断误差问题, 以及引起相关的其他问题, 这正是差分方法所需研究的.

设  $u = u(t), t \in [t_0, T]$ , 节点  $t_i = t_0 + ih$ , ( $i = 1, 2, \dots, n$ ) 即  $t_{i+1} = t_i + h$  ( $i = 0, 1, 2, \dots, n-1$ ). 其中步长  $h = \frac{T - t_0}{n}$ . 边界节点  $t_0, t_n = T$ , 函数  $u(t)$  在节点  $t_i$  处, 由 Taylor 公式可得

$$u(t+h) = u(t) + u'(t)h + \frac{1}{2!}u''(t)h^2 + \frac{1}{3!}u'''(t)h^3 + \dots + \frac{1}{n!}u^{(n)}(t)h^n + o(h^{n+1})$$

为用有限项表示导数, 常见导数关于截断误差  $h$  的阶数  $k$ , 视  $o(h^k)$  表示如下:

$$\left\{ \begin{array}{l} u'(t_i) = \frac{u(t_{i+1}) - u(t_i)}{h} + o(h) \\ u'(t_i) = \frac{u(t_{i-1}) - u(t_i)}{h} + o(h) \\ u'(t_i) = \frac{u(t_{i+1}) - u(t_{i-1})}{2h} + o(h^2) \\ u'(t_i) = \frac{3u(t_i) - 4u(t_{i-1}) + u(t_{i-2})}{2h} + o(h^2) \\ u''(t_i) = \frac{u(t_{i+2}) - 2u(t_{i+1}) + u(t_i)}{h^2} + o(h) \\ u''(t_i) = \frac{u(t_{i+1}) - 2u(t_i) + u(t_{i-1}))}{h^2} + o(h^2) \\ u''(t_i) = \frac{-u(t_{i+3}) + 4u(t_{i+2}) - 5u(t_{i+1}) + 2u(t_i)}{h^2} + o(h^2) \\ u''(t_i) = \frac{-u(t_{i+2}) + 16u(t_{i+1}) - 30u(t_i) + 16u(t_{i-1}) - u(t_{i-2}))}{12h^2} + o(h^4) \\ u'''(t_i) = \frac{u(t_{i+3}) - 3u(t_{i+2}) - 3u(t_{i+1}) - u(t_i)}{h^3} + o(h) \\ u'''(t_i) = \frac{u(t_{i+2}) - 2u(t_{i+1}) + 2u(t_{i-1}) - u(t_{i-2}))}{2h^3} + o(h^2) \end{array} \right. \quad (1.7)$$

如从式(1.7)中舍去  $o(h^k)$  项, 可得不同差分格式. 函数  $u(t)$  在  $t_i$  点处计算值记作  $u_i$ , 设  $u_i \approx u(t_i)$ , 在式(1.7)中第一式舍去  $o(h)$ , 方程(1.1)可写为差分方程

$$u_{i+1} = u_i + hf(t_i, u_i)$$

建立何种差分格式, 需从引言中建立差分格式的五个方面来考虑.

## 2. Euler 法 (折线法)

在常微分方程差分法中最简单的方法是 Euler 方法, 尽管在计算中不会使用, 但从中可领悟到建立差分格式的技术路线.

(1) 算法

式 (1.1) 等价于积分方程

$$u(t+h) = u(t) + \int_t^{t+h} f(\tau, u(\tau)) d\tau \quad (1.8)$$

令  $t = t_i$ , 利用矩形积分公式

$$\int_{t_i}^{t_i+h} f(\tau, u(\tau)) d\tau = hf(t_i, u(t_i)) + R_i$$

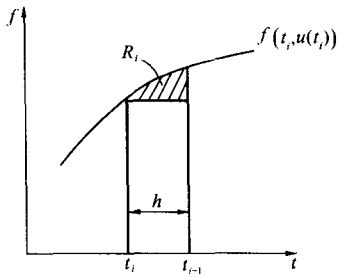


图 1.1 矩形积分示意图

如图 1.1 所示,  $R_i$  是第  $i$  个小曲边形面积.

由式 (1.8) 得

$$u(t_{i+1}) = u(t_i) + hf(t_i, u(t_i)) + R_i \quad (1.9)$$

称  $R_i$  为 Euler 法局部截断误差,  $\epsilon_i = u(t_i) - u_i$  为整体截断误差.

舍去式 (1.9) 中  $R_i$ , 令  $u_i \approx u(t_i)$ , 可得到  $t_{i+1} = t_i + h$  处 Euler 公式为

$$u_{i+1} = u_i + hf(t_i, u_i) \quad (1.10)$$

式 (1.10) 随着步数增多, 由于每步舍入误差都很大, 误差积累的增加, 可能把真解掩盖掉.

(2) 误差估计

由式 (1.9) 得

$$R_i = \int_{t_i}^{t_{i+1}} f(t, u(t)) dt - hf(t_i, u(t_i)) = \int_{t_i}^{t_{i+1}} [f(t, u(t)) - f(t_i, u(t_i))] dt$$

误差界

$$\begin{aligned} |R_i| &\leq \int_{t_i}^{t_{i+1}} |f(t, u(t)) - f(t_i, u(t_i))| dt + \int_{t_i}^{t_{i+1}} |f(t_i, u(t)) - f(t_i, u(t_i))| dt \\ &\leq K \int_{t_i}^{t_{i+1}} |t - t_i| dt + L \int_{t_i}^{t_{i+1}} |u(t) - u(t_i)| dt \\ &= \frac{Kh^2}{2} + L \int_{t_i}^{t_{i+1}} |u'(t_i + Q(t - t_i))| (t - t_i) dt \end{aligned}$$

式中,  $0 < Q < 1$ , 取  $M = \max_{t_0 \leq t \leq T} |u'(t)| = \max_{t_0 \leq t \leq T} |f'_t(t, u)|$ ,  $K = \max_{t_0 \leq t \leq T} |f'_t|$ ,  $L = \max_{u \in D} |f'_u|$

记  $R = \frac{h^2}{2}(K + LM)$ , 可得

$$|R_i| \leq R = \frac{Kh^2}{2} + \frac{LMh^2}{2} = \frac{h^2}{2}(K + LM) \quad (1.11)$$

(3) 收敛性

**定理 1.3** 设  $f(t, u)$  关于  $t, u$  满足 Lipschitz 条件,  $K, L$  为相应的常数, 且当  $h \rightarrow 0$  时,  $u_0 \rightarrow u(t_0)$ , 则 Euler 法收敛, 且误差界为

$$|\epsilon_i| \leq e^{L(T-t_0)} |\epsilon_0| + \frac{h}{2} \left(M + \frac{K}{L}\right) (e^{L(T-t_0)} - 1) \quad (1.12)$$

如果  $u_0 = u(t_0)$ , 由式 (1.12), 得整体截断误差  $|\epsilon| = o(h)$ , 由式 (1.11) 得局部截断误

差  $|R_i| = o(h^2)$ .

**例 1.1** 用 Euler 法解下式的初值问题, 并估计它的离散误差.

$$\begin{cases} \frac{du}{dt} + u^2 = 0 & (0 \leq t \leq 1) \\ u(0) = 1 \end{cases}$$

**解** 解析解  $u = \frac{1}{1+t}$ ,

$$M = \max_{0 \leq t \leq 1} |u'(t)| = \max_{0 \leq t \leq 1} \left| \frac{-1}{(1+t)^2} \right| = 1$$

$$K = \max_{0 \leq t \leq 1} |f'_t| = \max_{0 \leq t \leq 1} \left| \frac{2}{(1+t)^3} \right| = 1$$

$$L = \max_{0 \leq t \leq 1} |f'_u| = \max_{0 \leq t \leq 1} |-2u| = 2$$

设  $\epsilon_0 = 0, h = 0.1$ , 误差界为

$$|\epsilon_i| \leq \frac{0.1}{2} \left(1 + \frac{1}{2}\right) (e^2 - 1) = 0.487$$

#### (4) 稳定性

**定义 1.2** 设  $u_i$  及  $v_i$  是以任意初值  $u_0$  及  $v_0$  的 Euler 方法求出的精确解 (没有舍入误差), 如果存在常数  $c$  及  $h_0$ , 对任何满足条件  $0 < h < h_0, h < T$  的  $i$  和  $h$  都有

$$|u_i - v_i| \leq c |u_0 - v_0| \quad (1.13)$$

则称 Euler 方法是稳定的.

从定义可知, 稳定性是对于方法而言的.

**定理 1.4** 如果  $f(t, u)$  关于  $u$  满足 Lipschitz 条件, 则 Euler 方法是稳定的.

讨论稳定性概念, 当  $h \rightarrow 0$  时讨论, 称之为古典稳定性. 在每次计算过程中, 实际上是取固定步长  $h$  进行计算. 因此, 最重要的是在计算过程中所产生的扰动 (误差) 对以后的计算结果的影响, 不会步步增大, 称之为绝对稳定性.

#### (5) 改进 Euler 方法

为提高局部截断误差关于  $h$  的阶数, 对式 (1.8) 改用梯形积分公式, 可得

$$u(t_{i+1}) = u(t_i) + \frac{h}{2} [f(t_i, u(t_i)) + f(t_{i+1}, u(t_{i+1}))] + R_i^{(1)}$$

求  $R_i^{(1)}$  阶的估计式.

根据 Newton 前插值公式, 在  $t_i \leq t \leq t_{i+1}$  时, 因为

$$\begin{aligned} \int_{t_i}^{t_{i+1}} u'(t) dt &= \int_0^1 \{u'(t_i) + \tau[u'(t_{i+1}) - u'(t_i)]\} h d\tau + \frac{h^3}{2} \int_0^1 \tau(\tau-1) u'''(t_i + \xi h) d\tau \\ &= \frac{h}{2} [u'(t_{i+1}) + u'(t_i)] - \frac{h^3}{12} u'''(t_i + \xi h) \quad (0 \leq \xi \leq 1) \end{aligned}$$

所以

$$R_i^{(1)} = \int_{t_i}^{t_{i+1}} u'(t) dt - \frac{h}{2} [u'(t_i) + u'(t_{i+1})] = -\frac{h^3}{12} u'''(t_i + \xi h)$$

$$R^{(1)} = \sup R_i^{(1)} \leq \frac{h^3}{12} M, \quad M = \max_{0 \leq t \leq T} |u'''(t)|$$

可得

$$|R_i^{(1)}| = o(h^3)$$

略去  $R_i^{(1)}$  得到改进的 Euler 方法:

$$u_{i+1} = u_i + \frac{h}{2} [f(t_i, u_i) + f(t_{i+1}, u_{i+1})] \quad (1.14)$$

这是一个隐格式, 采用下面预估-校正算法是简易方便的.

$$\begin{cases} \text{预估} & u_{i+1}^{[0]} = u_i + hf(t_i, u_i) \\ \text{校正} & u_{i+1}^{[k+1]} = u_i + \frac{h}{2} [f(t_i, u_i) + f(t_{i+1}, u_{i+1}^{[k]})] \end{cases} \quad (k = 0, 1, 2, \dots) \quad (1.15)$$

式中,  $k$  为迭代次数;  $u_{i+1}^{[0]}$  用显式 Euler 方法求得.

由式 (1.15) 求出迭代序列  $u_{i+1}^{[0]}, u_{i+1}^{[1]}, u_{i+1}^{[2]}, \dots$  ( $i = 1, 2, \dots, n-1$ )

当  $h$  充分小时, 序列收敛于改进的 Euler 方法的解  $u_{i+1}$ , 设  $f(t, u)$  在  $t \in I = [a, b]$  上满足 Lipschitz 条件 ( $L$  为常数), 有

$$\begin{aligned} |u_{i+1}^{[k+1]} - u_{i+1}^{[k]}| &= \frac{1}{2} h |f(t_{i+1}, u_{i+1}^{[k]}) - f(t_{i+1}, u_{i+1}^{[k-1]})| \\ &\leq \frac{1}{2} Lh |u_{i+1}^{[k]} - u_{i+1}^{[k-1]}| \end{aligned}$$

只要使  $\frac{1}{2} Lh < 1$  及足够好的初始近似  $u_{i+1}^{[0]}$ , 解一定收敛于  $u_{i+1}$ .

实际数值计算时, 只需满足允许误差  $\epsilon$ ,

$$|u_{i+1}^{[k]} - u_{i+1}^{[k-1]}| < \epsilon \quad (k = 0, 1, 2, \dots)$$

$u_{i+1}^{[k-1]}$  即为所求.

当舍入误差占主导地位时, 一般再用缩小步长的方法, 如果还不可能达到缩小误差的目的, 应采用精度更高的方法.

### 1.3 单步方法

从 1.2 节中看出, Euler 方法是一种单步方法, 即只需已知上一节点处解的近似值, 便可求下一节点处的解的近似值.

Euler 方法的优点: ①编制程序容易; ②具有良好的稳定性; ③改变步长容易; ④是自起步的, 也是最重要优点. 缺点: ①近似解的精确度太低; ②与其他精度相同的近似方法 (数值解方法) 需较长计算时间; ③估计局部误差值难于求得. Euler 方法优点虽然很多, 但缺点是主要的. 需寻找一种新方法, 适当增加计算量, 又较快提高精度.

单步方法中, Runge-Kutta 方法是高精度的单步方法, 不需附加初值, 因此可随意改变步长, 不增加任何附加计算量, 也是线性多步方法用来计算附加初值的常用方法之一. 其要点在于计算从  $t_i$  起适当增加不同节点的  $f$  值的线性组合, 可提高截断误差的阶数, 提高精度.

#### 1. 单步方法

单步方法一般形式为

$$u_{i+1} = u_i + h\phi(t_i, u_i, h) \quad (1.16)$$

将  $\phi(t)$  在  $t_i$  处展成 Taylor 级数, 可得

$$\phi(t_i, u_i, h) = \sum_{j=1}^r \frac{h^{j-1}}{j!} \frac{d^{(j-1)}}{dt^{(j-1)}} f(t_i, u_i) + o(h^{r+1}) \quad (1.17)$$

式中,

$$u'_i = f(t_i, u_i)$$

$$u''_i = f_{t_i} + f_{u_i} f_i$$

$$u'''_i = f_{t_i t_i} + 2f_{t_i u_i} f_i + f_{u_i u_i} f_i^2 + f_{u_i} (f_{t_i} + f_i f_{u_i})$$

⋮

且  $r$  是使式 (1.17) 成立的最大整数, 称式 (1.16) 为  $r$  阶单步方法.

## 2. Runge - Kutta 方法

Runge - Kutta 方法规定:

$$\begin{cases} \phi(t_i, u_i, h) = \sum_{n=1}^s c_n k_n \\ k_1 = f(t_i, u_i) \\ k_n = f(t_i + ha_n, u_i + h \sum_{l=1}^{n-1} b_{nl} k_l) \quad (n = 2, 3, \dots, s) \\ a_n = \sum_{l=1}^{n-1} b_{nl} \\ u_{i+1} = u_i + h\phi(t_i, u_i, h) \end{cases} \quad (1.18)$$

式中,  $c_n$ ,  $a_n$ ,  $b_{nl}$  为待定系数. 称算法 (1.18) 为  $r$  阶  $s$  级 Runge - Kutta 方法.

特别当  $r = 1$  时, 为 Euler 折线法.

$r = 2$  阶,  $s = 2$  级情况, 算法 (1.18) 取为

$$\begin{cases} \phi(t_i, u_i, h) = c_1 k_1 + c_2 k_2 \\ k_1 = f(t_i, u_i) \\ k_2 = f(t_i + ha_1, u_i + ha_2 k_1) \\ u_{i+1} = u_i + h\phi(t_i, u_i, h) \end{cases}$$

确定  $c_1$ 、 $c_2$ 、 $a_2$  值, 由式 (1.17) 得

$$\phi(t_i, u_i, h) = \sum_{j=1}^2 \frac{h^{j-1}}{j!} \frac{d^{(j-1)}}{dt^{(j-1)}} f(t_i, u_i) = f_i + \frac{h}{2} (f_{t_i} + f_{u_i} f_i) \quad (1.19)$$

$k_2$  在  $(t_i, u_i)$  处展开成 Taylor 级数,  $k_2 = f_i + ha_2(f_{t_i} + k_1 f_{u_i})$ . 将  $k_1$ ,  $k_2$  代入

$$\phi(t_i, u_i, h) = c_1 k_1 + c_2 k_2$$

得

$$\psi(t_i, u_i, h) = (c_1 + c_2)f_i + hc_1a_2(f_{t_i} + f_{u_i}f_i) \quad (1.20)$$

比较式 (1.19) 和式 (1.20), 得

$$\begin{cases} c_1 + c_2 = 1 \\ c_1 a_2 = \frac{1}{2} \end{cases}$$

上式为三个未知数两个方程的不定方程组, 需对  $(c_1, c_2, a_2)$  中设定一个值, 其他两值根据上式计算.

设  $c_1$  分别为  $0, \frac{1}{4}, \frac{1}{2}$  时, 计算出三组值  $(0, 1, \frac{1}{2}), (\frac{1}{4}, \frac{3}{4}, \frac{2}{3}), (\frac{1}{2}, \frac{1}{2}, 1)$ , 得到三个二阶二级截断误差为  $o(h^3)$  的方法:

(1) 中点法 (修正 Euler 方法)

$$\begin{cases} u_{i+1} = u_i + hk_2 \\ k_1 = f_i \\ k_2 = f(t_i + \frac{1}{2}h, u_i + \frac{h}{2}k_1) \end{cases} \quad (1.21)$$

(2) Houn 法

$$\begin{cases} u_{i+1} = u_i + \frac{h}{4}(k_1 + 3k_2) \\ k_1 = f_i \\ k_2 = f(t_i + \frac{2}{3}h, u_i + \frac{2}{3}hk_1) \end{cases} \quad (1.22)$$

(3) 改进 Euler 法

$$\begin{cases} u_{i+1} = u_i + \frac{h}{2}(k_1 + k_2) \\ k_1 = f_i \\ k_2 = f(t_i + h, u_i + hk_1) \end{cases} \quad (1.23)$$

四阶 Runge - Kutta 方法是常用的算法, 优点: 精度高, 程序简单, 计算过程稳定, 易于调整步长. 缺点: 要求  $f(t, u)$  具有较高的光滑性. 如果  $f$  光滑性差, 可能不如 Euler 方法. 相对计算工作量大, 费机时, 每次需计算四次  $f$  值.

取  $r = 4, s = 4$ , 并将 Taylor 级数展开至  $h^3$  项, 比较系数可得含有 11 个方程 13 个未知数的不定方程组, 采用  $r = 2, s = 2$  的处理方式, 得到三种四阶 Runge - Kutta 形式.

(1) 古典形式

$$\begin{cases} u_{i+1} = u_i + \frac{h}{6}(k_1 + 2k_2 + 2k_3 + k_4) \\ k_1 = f(t_i, u_i) \\ k_2 = f\left(t_i + \frac{1}{2}h, u_i + \frac{h}{2}k_1\right) \\ k_3 = f\left(t_i + \frac{1}{2}h, u_i + \frac{h}{2}k_2\right) \\ k_4 = f(t_i + h, u_i + hk_3) \end{cases} \quad (1.24)$$

(2) Kutta 形式

$$\begin{cases} u_{i+1} = u_i + \frac{h}{8}(k_1 + 3k_2 + 3k_3 + k_4) \\ k_1 = f(t_i, u_i) \\ k_2 = f\left(t_i + \frac{1}{3}h, u_i + \frac{h}{3}k_1\right) \\ k_3 = f\left(t_i + \frac{2}{3}h, u_i - \frac{h}{3}k_1 + hk_2\right) \\ k_4 = f(t_i + h, u_i + hk_1 - hk_2 + hk_3) \end{cases} \quad (1.25)$$

(3) Gill 形式

$$\begin{cases} u_{i+1} = u_i + \frac{h}{6}(k_1 + (2 - \sqrt{2})k_2 + (2 + \sqrt{2})k_3 + k_4) \\ k_1 = f(t_i, u_i) \\ k_2 = f\left(t_i + \frac{1}{2}h, u_i + \frac{h}{2}k_1\right) \\ k_3 = f\left(t_i + \frac{1}{2}h, u_i + \frac{\sqrt{2}-1}{2}k_1 + \left(1 - \frac{\sqrt{2}}{2}\right)k_2\right) \\ k_4 = f\left(t_i + h, u_i - \frac{\sqrt{2}}{2}k_2 + \left(1 + \frac{\sqrt{2}}{2}\right)k_3\right) \end{cases} \quad (1.26)$$

本书使用的是古典形式.

**例 1.2** 求初值问题:

$$\begin{cases} y' = y - \frac{2x}{y} & (0 \leq x \leq 1) \\ y(0) = 1 \end{cases}$$

**解** 解析解  $y = \sqrt{1 + 2x}$ .

① Euler 法:

$$y_{n+1} = y_n + h\left(y_n - \frac{2x_n}{y_n}\right) \quad (h = 0.1, n = 0, 1, 2, \dots, 10)$$

② 改进 Euler 法:

$$y_{n+1} = y_n + \frac{h}{2} \left[ \left( y_n - \frac{2x_n}{y_n} \right) + \left( y_{n+1} - \frac{2x_{n+1}}{y_{n+1}} \right) \right] \quad (h = 0.1, n = 0, 1, 2, \dots, 10)$$

③ 四阶 Runge - Kutta 方法:

$$\begin{cases} y_{n+1} = y_n + \frac{h}{6}(k_1 + 2k_2 + 2k_3 + k_4) \\ k_1 = y_n - \frac{2x_n}{y_n} \\ k_2 = y_n + \frac{h}{2}k_1 - \frac{2\left(x_n + \frac{h}{2}\right)}{y_n + \frac{1}{2}hk_1} \\ k_3 = y_n + \frac{h}{2}k_2 - \frac{2\left(x_n + \frac{h}{2}\right)}{y_n + \frac{1}{2}hk_2} \\ k_4 = y_n + hk_3 - \frac{2(x_n + h)}{y_n + hk_3} \end{cases} \quad (h = 0.2, n = 0, 1, 2, 3, 4, 5)$$

从计算结果中（见表 1.1）看到，虽然四阶 Runge - Kutta 法计算量（每一步四次计算  $f$  值）比改进 Euler 法（二阶 Runge - Kutta 法每次只计算两个  $f$  值）大一倍，但由于放大步长  $h = 0.2$ ，总计算量相等，但是精度要高。

表 1.1 数值计算结果

$x_n$	$y_n$			$y(t_i)$
	①	②	③	
0.1	1.100 0	1.095 9	—	1.095 4
0.2	1.191 8	1.181 4	1.183 2	1.183 2
0.3	1.277 4	1.266 2	—	1.264 9
0.4	1.358 2	1.343 4	1.341 7	1.341 6
0.5	1.435 1	1.416 4	—	1.414 2
0.6	1.509 0	1.484 0	1.483 3	1.483 2
0.7	1.580 3	1.552 5	—	1.549 2
0.8	1.649 8	1.615 3	1.612 6	1.612 5
0.9	1.717 8	1.678 2	—	1.673 3
1.0	1.737 9	1.737 9	1.732 1	1.732 1

## 1.4 线性多步方法

计算过程中，增加多个节点的已知数据，减少由于计算方面而产生的误差是多步方法的思想。在单步方法中，计算  $u_{i+1}$  时只用到前面  $u_i$  的值，现如果充分利用已知的  $u_0, u_1, \dots, u_i$  诸值，也就是利用这些点构造一个高精度的插值函数，来计算下一个节点值，以提高  $u_{i+1}$



的精度. 以 Euler 两步法为例, 采用改进 Euler 方法 (1.14), 隐式中  $u_{i+1}$  采用中心差商计算, 即

$$u_{i+1} = u_{i-1} + 2hf(t_i, u_i)$$

计算  $u_{i+1}$  需已知  $u_{i-1}$  和  $u_i$  两步数据, 故称两步法. 即

$$\begin{cases} \tilde{u}_{i+1} = u_{i-1} + 2hf(t_i, u_i) \\ u_{i+1} = u_i + \frac{1}{2}h[f(t_i, u_i) + f(t_{i+1}, \tilde{u}_{i+1})] \end{cases}$$

式中,  $\tilde{u}_{i+1}$  为中间变量.

如果要求关于因变量多步数据, 计算  $t = t_{i+1}$  处的值, 称为多步法. 一般表示为

$$u_{i+1} = \alpha_0 u_i + \alpha_1 u_{i-1} + \cdots + \alpha_k u_{i-k} + h(\beta_{-1} u'_{i+1} + \beta_0 u'_i + \cdots + \beta_k u'_{i-k})$$

式中,  $u'_i = f_i = f(t_i, u_i)$ ,  $\alpha_i, \beta_i$  是常数. 需已知  $u_i, u_{i-1}, \cdots, u_{i-k}$  的  $k+1$  个数据, 称“ $k+1$ ”步法. 当  $k=0$  时为单步法,  $k>0$  时为多步法. 又因为关于  $u_i$  和  $u'_i$  是线性的, 故称“线性多步法”. 当  $\beta_{-1} = 0$  时为显式多步法,  $\beta_{-1} \neq 0$  为隐式多步法.

### 1. 显式多步法 (Adams 外插法)

已知:  $u_{i-k}, \cdots, u_{i-1}, u_i$ , 求  $u(t)$  在  $t_{i+1} = t_0 + (i+1)h$  处的近似值  $u_{i+1}$ , 式 (1.1) 的等价形式为

$$u(t_{i+1}) = u(t_i) + \int_{t_i}^{t_{i+1}} u'(t) dt = u(t_i) + \int_{t_i}^{t_{i+1}} f(t, u(t)) dt \quad (1.27)$$

通过  $k+1$  个数据点  $(t_{i-k}, u_{i-k}), \cdots, (t_{i-1}, u_{i-1}), (t_i, u_i)$  作  $f(t, u(t))$  的 Lagrange 型插值多项式  $L_{i,k}(t)$ , 插值余项  $r_{i,k}(t)$ , 即

$$f(t, u(t)) = L_{i,k}(t) + r_{i,k}(t) \quad (1.28)$$

将式 (1.28) 代入式 (1.27), 得

$$u(t_{i+1}) = u(t_i) + \int_{t_i}^{t_{i+1}} L_{i,k}(t) dt + \int_{t_i}^{t_{i+1}} r_{i,k}(t) dt$$

舍去  $R_{i,k} = \int_{t_i}^{t_{i+1}} r_{i,k}(t) dt$ , 令  $u_i = u(t_i)$ ,

$$u_{i+1} = u_i + \int_{t_i}^{t_{i+1}} L_{i,k}(t) dt \quad (1.29)$$

式中,  $t_i \leq t \leq t_{i+1}$  不在  $[t_{i-k}, t_i]$  内, 称式 (1.29) 为外插公式.

利用 Newton 后插公式

$$L_{i,k}(t + \tau h) = u'_i + \frac{\tau}{1!} \nabla u'_i + \frac{\tau(\tau+1)}{2!} \nabla^2 u'_i + \cdots + \frac{\tau(\tau+1)\cdots(\tau+k-1)}{k!} \nabla^k u'_i$$

式中,  $\nabla u'_i = u'_i - u'_{i-1}$ .

引入广义二次项系数

$$\binom{s}{j} = \frac{s(s-1)\cdots(s-j+1)}{j!} \quad \text{和} \quad \binom{s}{0} = 1$$

则式 (1.29) 可写作